

# ОБ АНОМАЛЬНОМ ОПРОКИДЫВАНИИ ПОДРЕШЕТОК В АНТИФЕРРОМАГНИТНОМ $\text{Cu}(\text{pz})_2(\text{ClO}_4)_2$

*B. И. Марченко\**

Институт физических проблем им. П. Л. Капицы Российской академии наук  
119334, Москва, Россия

Поступила в редакцию 8 декабря 2020 г.,  
после переработки 8 декабря 2020 г.  
Принята к публикации 10 декабря 2020 г.

Предложено объяснение аномального опрокидывания подрешеток в антиферромагнитном  $\text{Cu}(\text{pz})_2(\text{ClO}_4)_2$ . Здесь, благодаря близости моноклинной решетки к тетраэдрической, в небольшом магнитном поле опрокидывание подрешеток может сопровождаться переходом от одного к другому антиферромагнитному вектору. Эти два вектора превращаются друг в друга под действием элементов симметрии, утерянных при моноклинных искажениях решетки.

Статья для специального выпуска ЖЭТФ, посвященного 90-летию И. Е. Дзялошинского

DOI: 10.31857/S004445102104009X

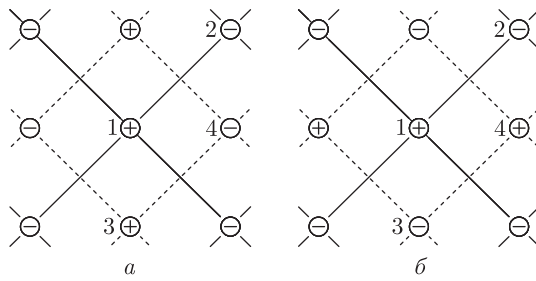
Поваров, Смирнов и Лэнди [1] обнаружили необычное явление в антиферромагнитном  $\text{Cu}(\text{pz})_2(\text{ClO}_4)_2$  (пиразин pz =  $\text{C}_4\text{H}_4\text{N}_2$ ). Переход, который по поведению намагниченности выглядит как опрокидывание подрешеток в магнитном поле, согласно измерениям спектра антиферромагнитного резонанса сопровождается неожиданным изменением знака одной из констант анизотропии.

Атомы меди находятся в узлах почти квадратной ромбической решетки (рисунок *a*). Параметры кристалла, исследованного в работе [1], равны

$$a = 14.072 \text{ \AA}, \quad b = 9.786 \text{ \AA},$$

$$c = 9.7810 \text{ \AA}, \quad \beta = 96.458^\circ.$$

Антиферромагнитный обмен внутри атомных плоскостей (*b*, *c*) сильно превосходит обмен между плоскостями [2]. В результате в каждой плоскости устанавливается естественное двумерное упорядочение с противоположными направлениями средних значений спинов ближайших соседей. Согласно нейтронографическим данным [2], наблюдаемая трехмерная обменная магнитная структура  $\text{Cu}(\text{pz})_2(\text{ClO}_4)_2$  задается одним антиферромагнитным вектором  $\ell$ , составленным из четырех подрешеток с сигнатурой указанной на рисунке *a*:



Стопка чередующихся плоскостей атомов меди в почти тетраэдрическом кристалле  $\text{Cu}(\text{pz})_2(\text{ClO}_4)_2$ . Трансляция *b* — горизонтальная диагональ ромба, *c* — вертикальная

$$\ell = \mathbf{s}_1 - \mathbf{s}_2 + \mathbf{s}_3 - \mathbf{s}_4. \quad (1)$$

Если  $b = c$  и  $\beta = 90^\circ$ , то решетка становится тетраэдрической. При этом, независимо от того, как устроен микроскопический обменный гамильтониан, если имеется описанное выше антиферромагнитное состояние  $\ell$ , то обязательно, в силу симметрии, возможно и альтернативное магнитное состояние с сигнатурой, представленной на рисунке *b*:

$$\tilde{\ell} = \mathbf{s}_1 - \mathbf{s}_2 - \mathbf{s}_3 + \mathbf{s}_4. \quad (2)$$

Энергии и вообще все характеристики состояний (1), (2) будут одинаковыми<sup>1)</sup>. Макроскопически эти состояния различаются лишь поворотом легкой оси в базисной плоскости на  $90^\circ$ .

<sup>1)</sup> Сравни со случаем III §3 в работе Дзялошинского [3].

\* E-mail: mar@kapitza.ras.ru

Во внешнем магнитном поле при низких температурах энергии обсуждаемых состояний равны

$$\begin{aligned} E_{\ell} &= E_0 + \frac{\beta_1}{2} \ell_z^2 + \frac{\beta_2}{2} \ell_y^2 - \frac{\chi_{\perp}}{2} [\ell \times \mathbf{B}]^2, \\ E_{\tilde{\ell}} &= E_0 + \frac{\beta_1}{2} \tilde{\ell}_z^2 + \frac{\beta_2}{2} \tilde{\ell}_x^2 - \frac{\chi_{\perp}}{2} [\tilde{\ell} \times \mathbf{B}]^2, \end{aligned} \quad (3)$$

где  $E_0$  — энергия основного состояния,  $\beta_1 > \beta_2 > 0$  — константы анизотропии,  $\chi_{\perp}$  — магнитная восприимчивость, перпендикулярная векторам  $\ell$  и  $\tilde{\ell}$ ,  $|\ell| = |\tilde{\ell}| = 1$ .

В параллельном базисной плоскости магнитном поле  $\ell_z = \tilde{\ell}_z = 0$ . При этом, если поле ориентировано под углом  $45^\circ$  к легким осям ( $B_x = \pm B_y$ ), энергии двух альтернативных состояний остаются совпадающими. В общем же случае вырождение снимается, и уже в малом поле минимальной энергией будет обладать то состояние, в котором легкая ось ориентирована под углом ближе к оптимальному ( $90^\circ$ ) по отношению к полю.

При учете имеющихся малых отличий кристаллической решетки от тетраэдрической обменные энергии состояний  $\ell$ ,  $\tilde{\ell}$  становятся разными. Как правило, в кристалле в парамагнитной фазе имеются кристаллиты, повернутые относительно друг друга на  $90^\circ$  в базисной плоскости. Согласно нейтронографическим данным в кристаллитах, где трансляция  $\mathbf{b}$  горизонтальна, реализуется состояние  $\ell$  (см. рисунок). Отсчитывая энергию от средней между двумя обсуждаемыми состояниями в данном кристаллите, припишем состоянию  $\ell$  малый отрицательный обменный вклад  $-\alpha/2$ , а состоянию  $\tilde{\ell}$  — положительную добавку  $+\alpha/2$ . Поскольку состояние  $\tilde{\ell}$  было устойчивым в тетраэдрической решетке, оно и при слабой моноклинности должно остаться устойчивым в малом.

Вообще говоря, при понижении симметрии остальные магнитные характеристики, такие как восприимчивость и величины констант анизотропии, также должны стать слегка разными у состояний  $\tilde{\ell}$  и  $\ell$ . Кроме того, из-за потери ортогональности ( $\beta = 96.458^\circ$ ) появится дополнительный вклад в анизотропию вида  $\beta_3 \ell_y \ell_z$ , приводящий к слабому выходу антиферромагнитных векторов из базисной плоскости. При этом должно возникнуть разбиение на домены с противоположными знаками сдвиговой деформации, которая и нарушает ортогональность. Такие домены характеризуются разными знаками константы  $\beta_3$ . Эти эффекты, однако, должны быть малыми по сравнению с основным — расщеплением  $\alpha$  энергии основного состояния.

Формулы (3) в случае, когда магнитное поле параллельно базисной плоскости, можно представить в виде

$$\begin{aligned} E_{\ell} &= E_0 - \frac{\alpha}{2} + \frac{\beta_2 - \chi_{\perp} B^2}{4} + \frac{A^-}{4} \cos 2(\theta - \psi^-), \\ E_{\tilde{\ell}} &= E_0 + \frac{\alpha}{2} + \frac{\beta_2 - \chi_{\perp} B^2}{4} + \frac{A^+}{4} \cos 2(\tilde{\theta} - \psi^+), \end{aligned} \quad (4)$$

где

$$\operatorname{tg} \theta = \frac{\ell_y}{\ell_x}, \quad \operatorname{tg} \tilde{\theta} = \frac{\tilde{\ell}_y}{\tilde{\ell}_x}, \quad \operatorname{tg} \varphi = \frac{B_y}{B_x},$$

$$A^{\pm} = \sqrt{(\chi_{\perp} B^2 \cos 2\varphi \pm \beta_2)^2 + (\chi_{\perp} B^2 \sin 2\varphi)^2},$$

$$\operatorname{tg} \psi^{\pm} = \frac{\chi_{\perp} B^2 \sin 2\varphi}{\chi_{\perp} B^2 \cos 2\varphi \pm \beta_2}.$$

Отсюда очевидно, что равновесные ориентации антиферромагнитных векторов равны  $\theta = \psi^- + \pi/2$ ,  $\tilde{\theta} = \psi^+ + \pi/2$ . Переход аномального опрокидывания происходит при условии  $E_{\ell} = E_{\tilde{\ell}}$ :

$$A^+ - A^- = 4\alpha.$$

Решение этого уравнения дает критическое поле аномального опрокидывания

$$B_c(\varphi) = B_{sf} \left( \frac{\cos^2 2\varphi_c \sin^2 2\varphi_c}{\cos^2 2\varphi - \cos^2 2\varphi_c} \right)^{1/4}, \quad (5)$$

где  $B_{sf} = \sqrt{\beta_2/\chi_{\perp}}$  — поле обычного опрокидывания подрешеток,  $\varphi_c$  — критический угол, определяемый соотношением  $\cos 2\varphi_c = 2\alpha/\beta_2$ . Аномальное опрокидывание наблюдается в интервале углов  $0 \leq \varphi < \varphi_c$  при выполнении условия  $\alpha < \beta_2/2$ . Минимум критического поля достигается при  $\varphi = 0$  и равен  $B_c(0) = B_{sf} \sqrt{\cos 2\varphi_c}$ .

Согласно формуле (5), при приближении к критическому углу  $\varphi_c$  должен происходить резкий рост величины критического поля, что соответствует экспериментальным наблюдениям в антиферромагнитном  $\text{Cu}(\text{pz})_2(\text{ClO}_4)_2$  при  $\varphi \rightarrow 10^\circ$  [1]. Спектр магнитного резонанса в поле  $B > B_c$  при  $\varphi = 0$  должен совпадать со спектром колебаний вектора  $\ell$  в базисной плоскости при направлении поля вдоль оси  $c$ . Значение параметра  $\Delta_a = 14 \pm 2$  ГГц в предложенной в работе [1] эмпирической формуле, однако, оказывается несколько больше ожидаемого значения  $\Delta_x = 11 \pm 2$  ГГц [1], что, возможно, связано с упомянутыми выше различиями характеристик, возникающими из-за моноклинных деформаций.

Мне приятно, что настоящая заметка принята в номер журнала, посвященный 90-летию Игоря Иехиэльевича Дзялошинского, который своими замечательными статьями в ЖЭТФ в существенной степени определил современное состояние теории антиферромагнетизма.

**Благодарности.** Благодарю А. И. Смирнова и С. С. Сосина за полезные обсуждения и замечания.

**Финансирование.** Работа поддержана Российским фондом фундаментальных исследований (проект № 19-02-00194).

## ЛИТЕРАТУРА

1. K. Yu. Povarov, A. I. Smirnov, and C. P. Landee, Phys. Rev. B **87**, 214402 (2013).
2. N. Tsyrulin, F. Xiao, A. Schneidewind, P. Link, H. M. Rønnow, J. Gavilano, C. P. Landee, M. M. Turnbull, and M. Kenzelmann, Phys. Rev. B **81**, 134409 (2010).
3. И. Е. Дзялошинский, ЖЭТФ **46**, 1420 (1964).